

# “Vsemogoči vodik” – energijski vidik bodočnosti

Blaž Likozar<sup>1</sup>, Sašo Gyergyek<sup>2</sup>, Andraž Pavlišič<sup>1</sup>,  
Anže Prašnikar<sup>1</sup>, Matej Huš<sup>1</sup>



<sup>1</sup> Kemijski inštitut, Slovenija

<sup>2</sup> Inštitut Jožef Stefan, Slovenija

# Vodik

Ali je zeleno gorivo?

- Brez neposrednega onesnaževanja.
- Običajna pridelava povzroča emisije CO<sub>2</sub>.
- Dekarbonizacija pri H<sub>2</sub> mora biti v sozvočju s spremenjanjem proizvodnje H<sub>2</sub>.

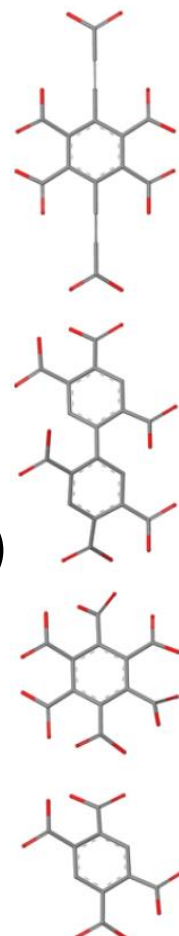
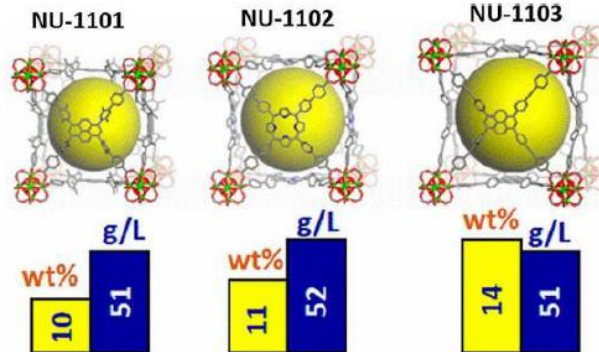
## The Hydrogen Colour Spectrum

COLOUR	DESCRIPTION: FEEDSTOCK
Grey	Grey: natural gas reforming without CCUS
Brown	Brown: brown coal (lignite) as feedstock
Blue	Blue: natural gas reforming with CCUS
Green	Green: electrolysis powered through renewable electricity
Pink	Pink: electrolysis powered through nuclear energy
Turquoise	Turquoise: methane pyrolysis
Yellow	Yellow: electrolysis powered through electricity from solar
Orange	Orange: electrolysis powered through electricity from wind

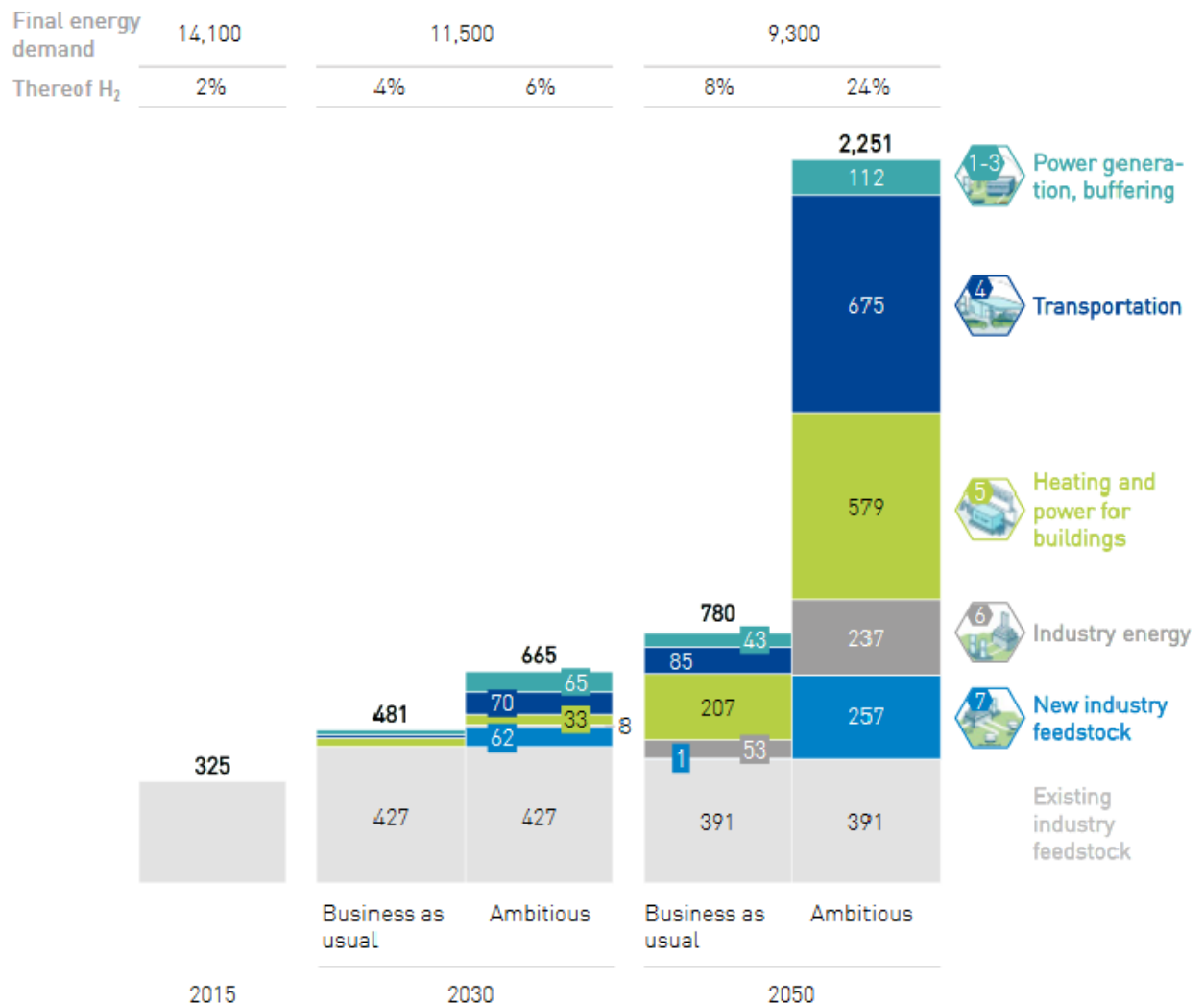
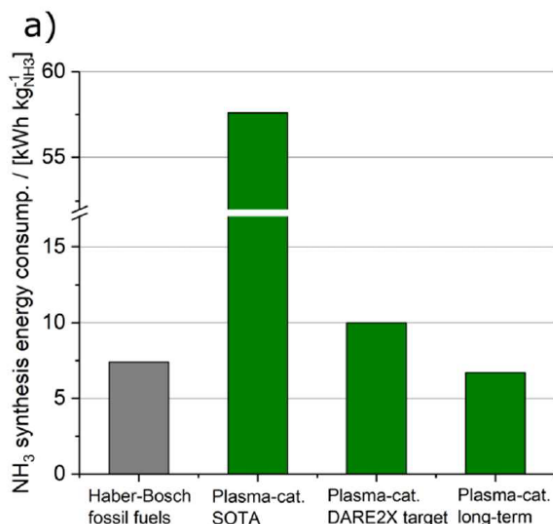


# Skladiščenje vodika

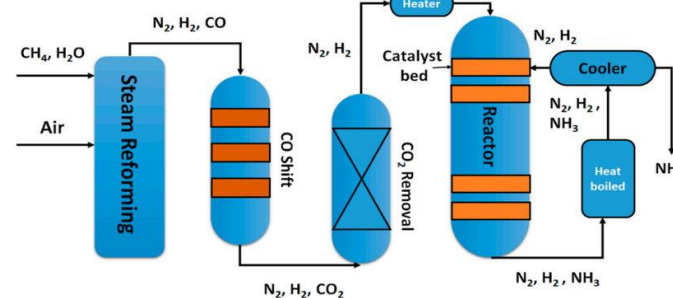
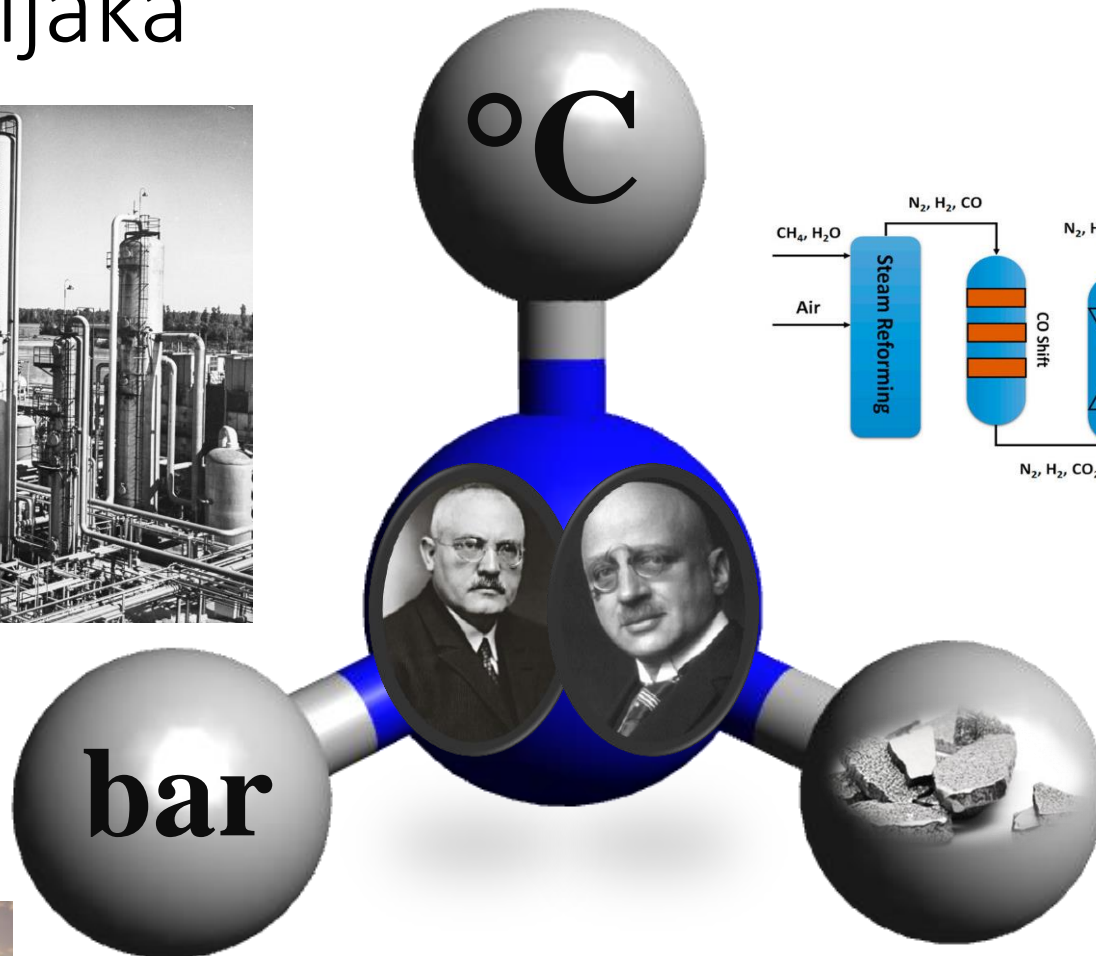
## Fizikalno skladiščenje



## Kemijsko skladiščenje (amonijak)



# Haber – Bosch proces, sinteza amonijaka



This Photo by Unknown Author is licensed under CC BY-NC-ND

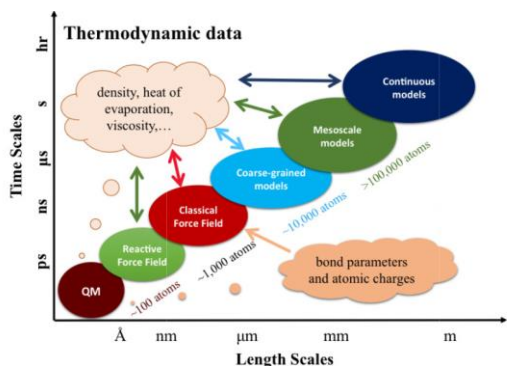
# Haber – Boschev proces

## Disociacijski mehanizem

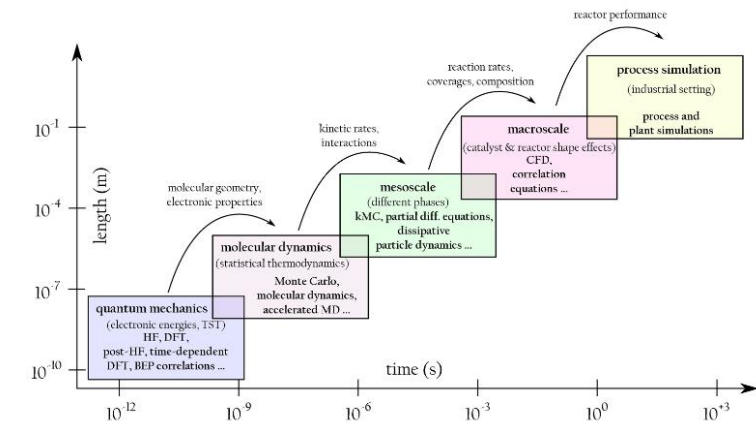
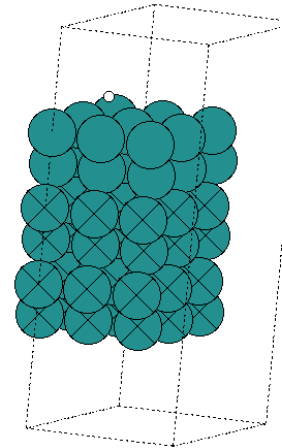
1.  $N_2(g) + 2 * \rightleftharpoons 2N^*$
2.  $H_2(g) + 2 * \rightleftharpoons 2H^*$
3.  $N^* + H^* \rightleftharpoons NH^* + *$
4.  $NH^* + H^* \rightleftharpoons NH_2^* + *$
5.  $NH_2^* + H^* \rightleftharpoons NH_3^* + *$
6.  $NH_3^* \rightleftharpoons NH_3 + *$

## Asociacijski mehanizem

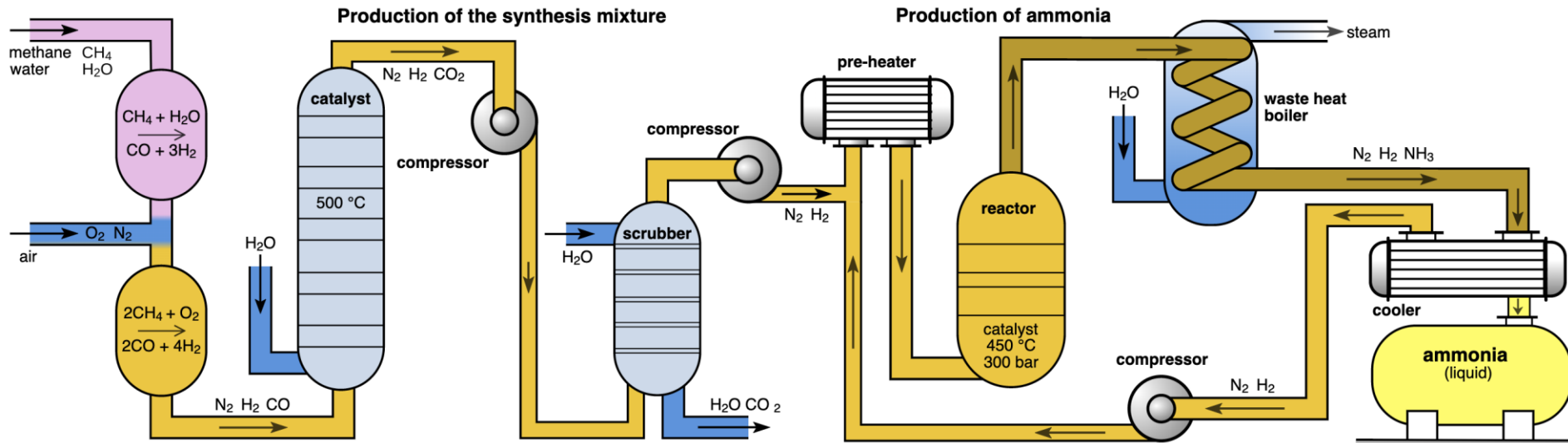
1.  $N_2 + \frac{1}{2}H_2 + 3 * \rightleftharpoons N_2H^{**} + *$
2.  $N_2H^{**} + H^* \rightleftharpoons N_2H_2^* + 2 *$
3.  $N_2H^{**} + H^* \rightleftharpoons NH^* + N^* + H^*$
4.  $NH^* + H^* \rightleftharpoons NH_2^* + *$
5.  $NH_2^* + H^* \rightleftharpoons NH_3^* + *$
6.  $NH_3^* \rightleftharpoons NH_3 + *$



- Haber-Bosch proces
  - 400 - 500 °C, 100 - 400 bar
  - Katalizator Fe
- 2 – 3 % globalne energije za proizvodnjo amonijaka
  - Haber – Bosch proces + H<sub>2</sub> proizvodnja
  - CO<sub>2</sub> emisije
  - Gnojila

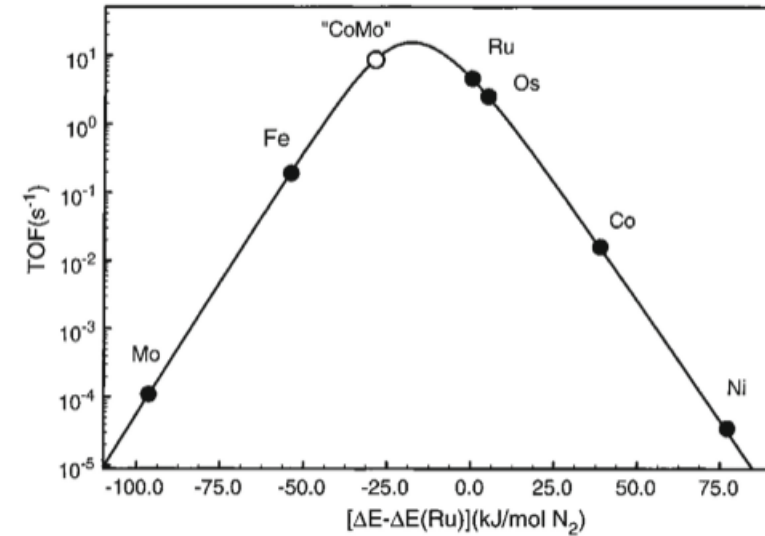
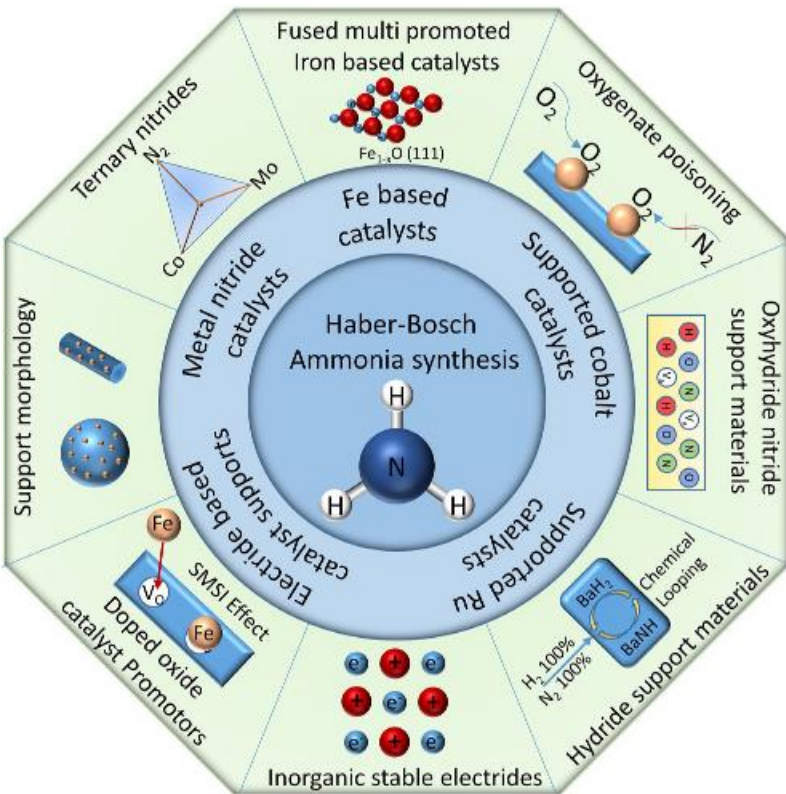


# Haber – Bosch proces – procesna shema



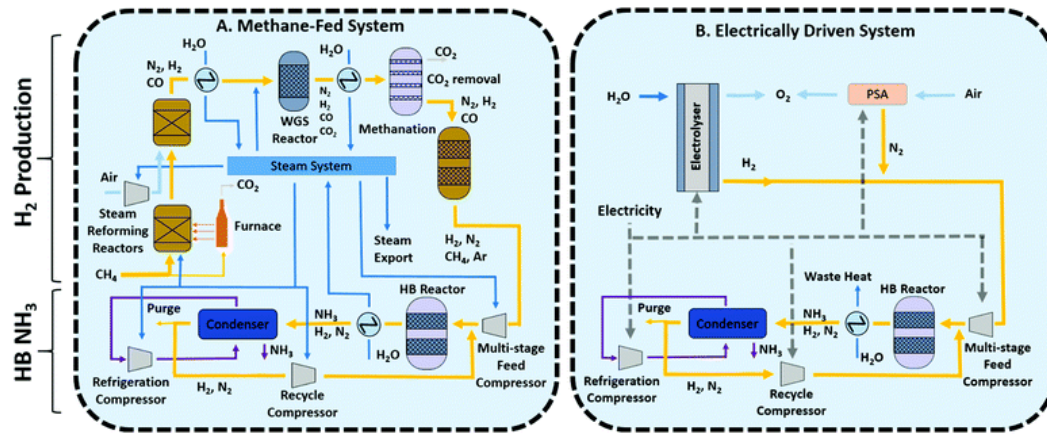
Years	Amount of Ammonia produced (rounded and in thousand tonnes)	Average Price of Ammonia (U.S. dollars per short ton)	World's Total Energy Consumption (Exajoules)
2017	142,000	247	566.66
2018	144,000	281	582.38
2019	142,000	232	587.43
2020	147,000	223	564.01
2021	150,000 (estimated)	510	595.15

# Haber-Bosch proces

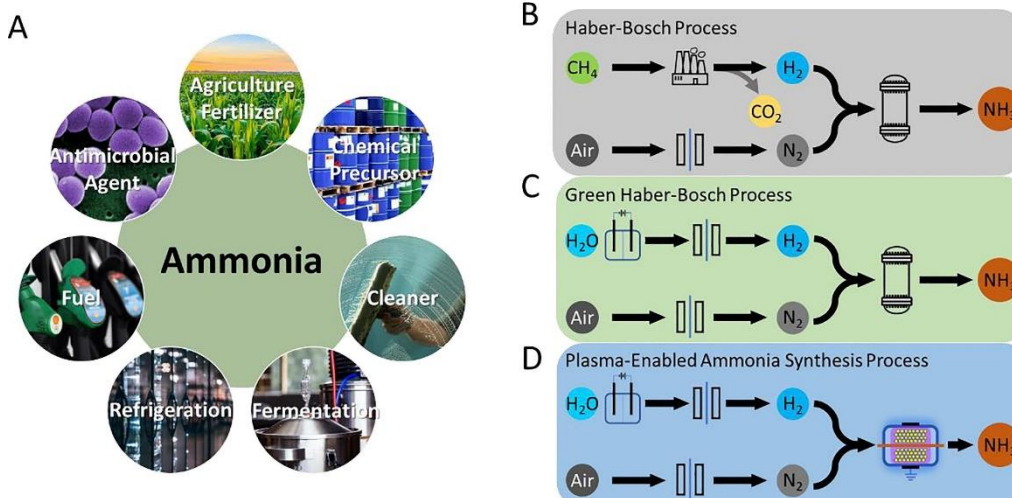


TOF (r. hitrost) za sintezo amonijaka kot funkcija dušikove adsorbcjske energije (400 °C, 50 bar)

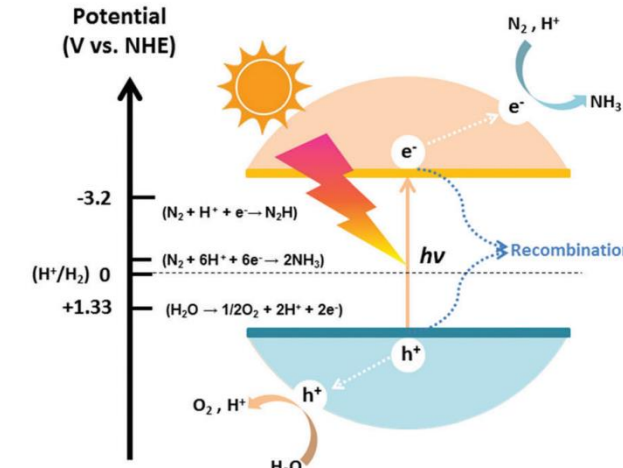
# Haber – Bosch proces, prihodnost



C. Smith, A. K. Hill and L. Torrente-Murciano, *Energy Environ Sci*, 2020, **13**, 331–344.



D. Zhou et al., Sustainable ammonia production by non-thermal plasmas: Status, mechanisms and opportunities, *Chemical Engineering Journal*,



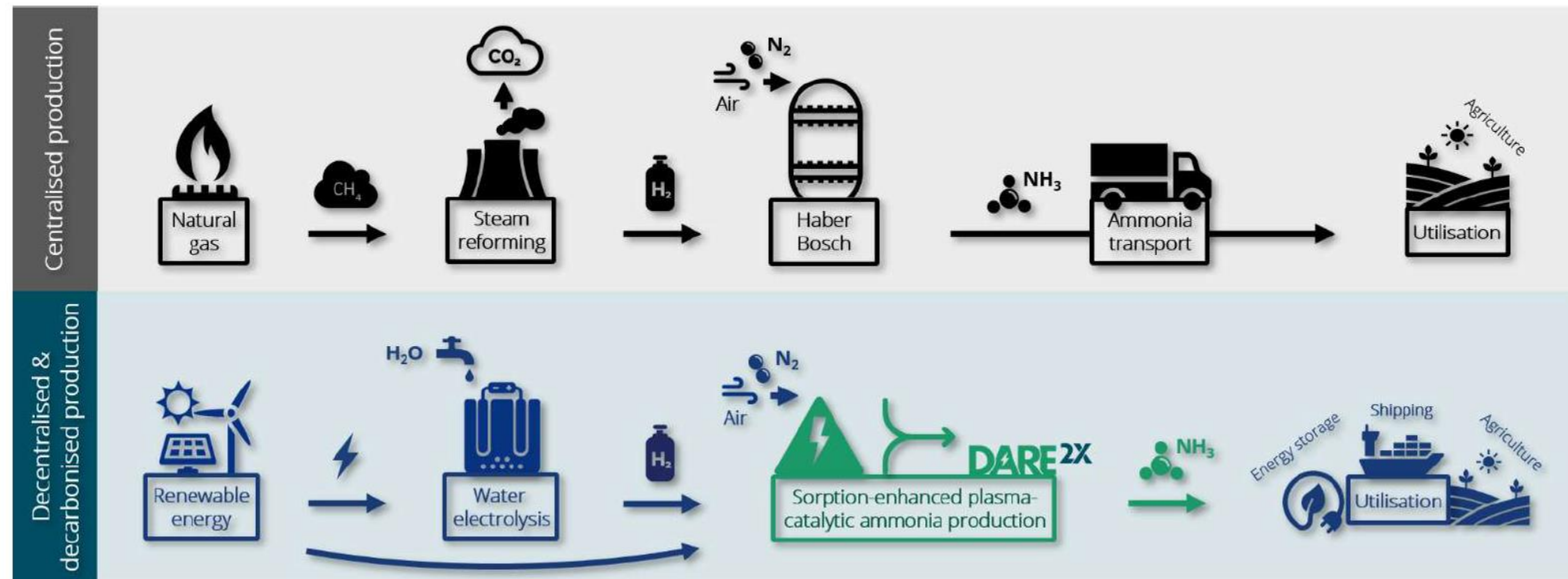
X. Chen, N. Li, Z. Kong, W. Ong, X. Zhao, Photocatalytic fixation of nitrogen to ammonia: state-of-the-art advancements and future prospects, *Mater. Horiz.*, 2018, **5**, 9.

# Zelena proizvodnja amonijaka

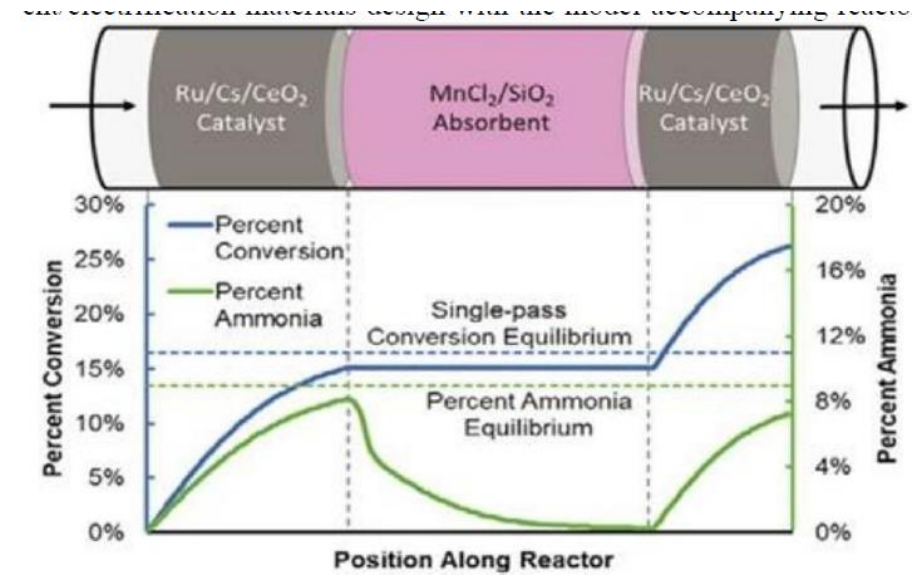
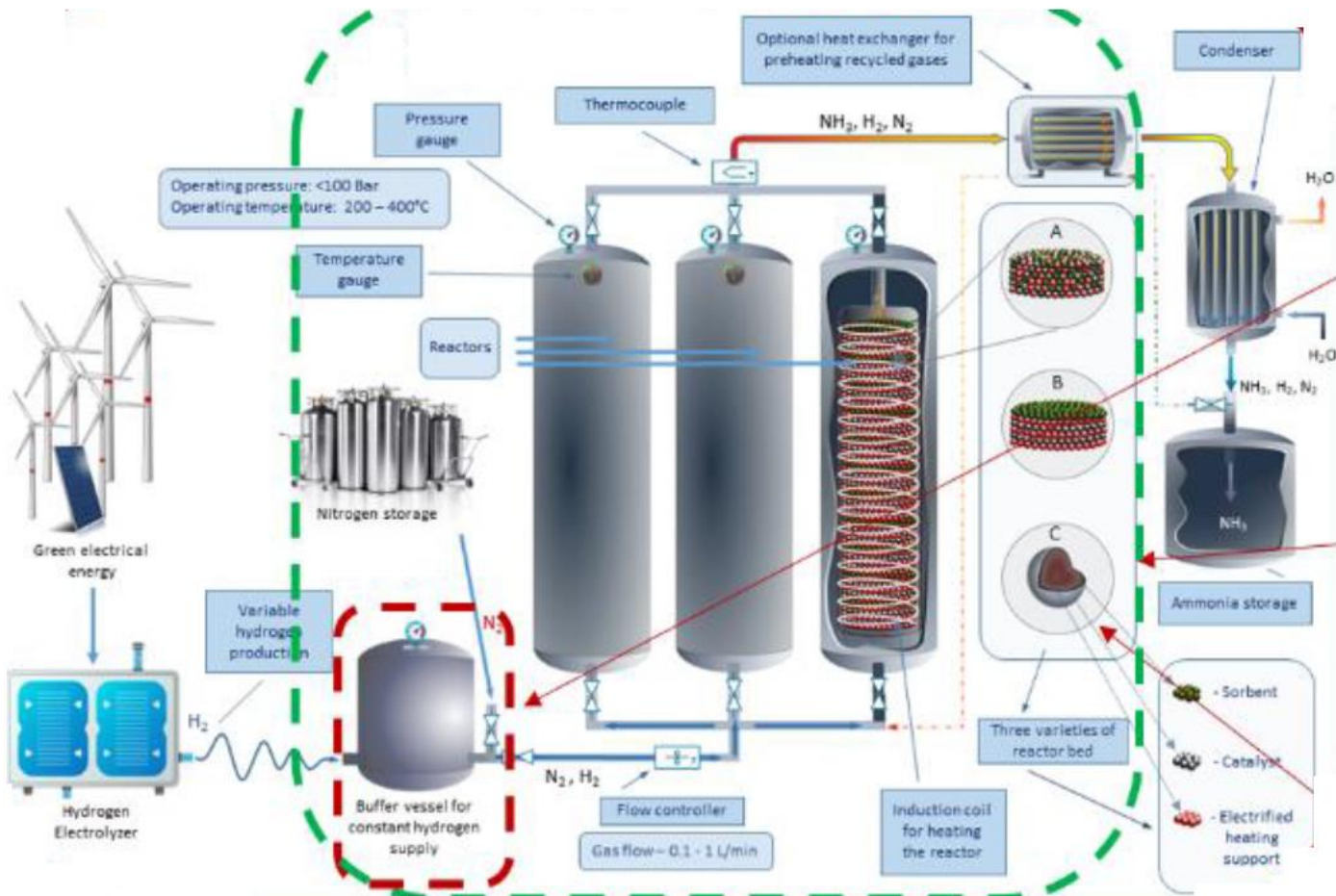
Elektroliza vode iz obnovljive energije

Izboljšan proces proizvodnje amonijaka (dolgoročno shranjevanje)

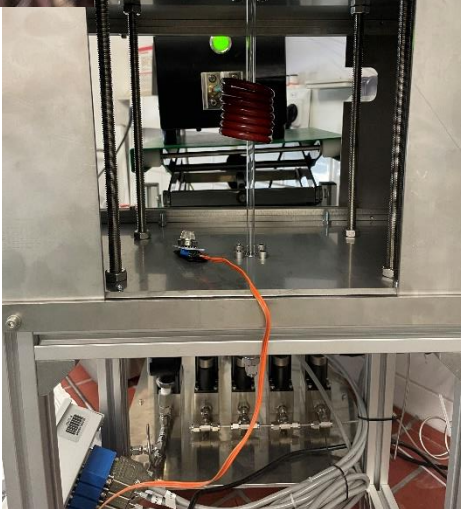
Uporaba amonijaka kot goriva



# Zelena proizvodnja amonijaka



## Haber-Bosch proces – induktivno gretje



# FOTOKATALIZA

- Fotokataliza je trajnostna alternativa termokatalitskim reakcijam.
- Kemijske reakcije se lahko izvede pod milimi pogoji; pri teh se kot dovedeno energijo uporablja sončno energijo.

## Koraki fotokatalitskega procesa:

- Fotoekscitacija,
- ločevanje naboja,
- Prenos naboja na aktivna mesta fotokatalizatorja,
- Fotooksidacijske in fotoredukcijske reakcije.

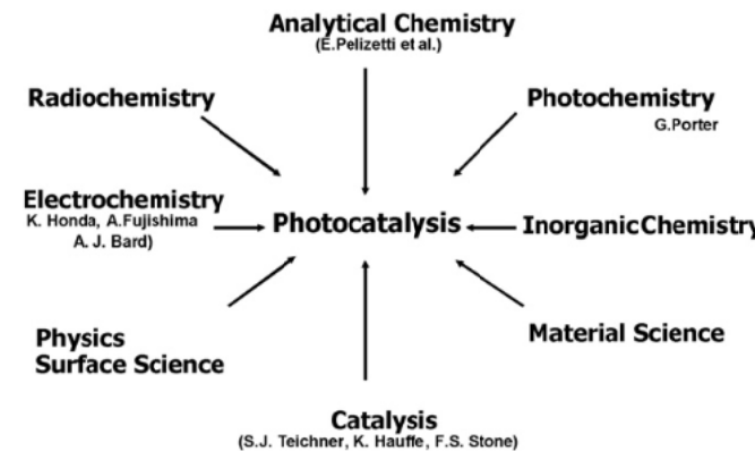
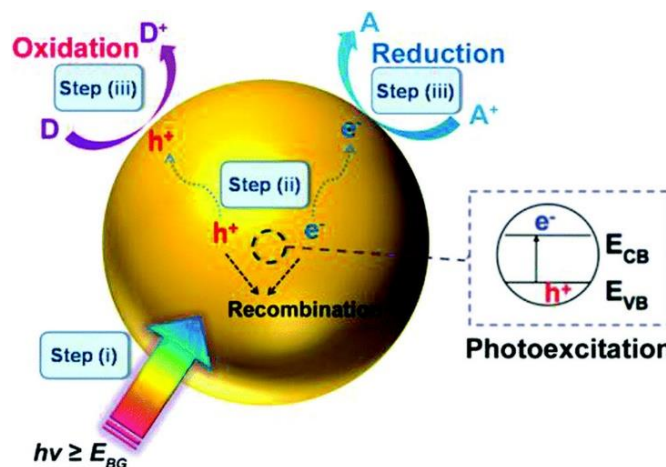


Figure X: Prispevki k fotokatalizi.  
[10.1016/j.jphotochem.2010.05.015](https://doi.org/10.1016/j.jphotochem.2010.05.015)

Figure X: Koraki fotokatalitskega procesa.  
<https://doi.org/10.1039/C6GC02856J>

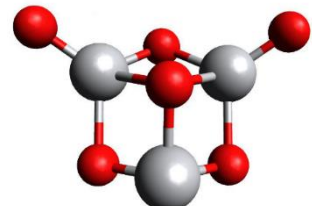
# FOTOKATALITSKA SINTEZA AMONIJAKA – Modeliranje na podlagi osnovnih principov

Atomsko modeliranje na podlagi osnovnih principov:

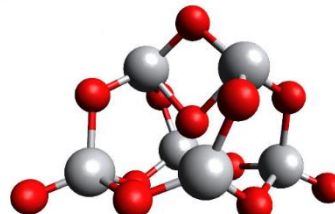
- Izračun osnovnih stanj: **Teorija gostotnega funkcionala (DFT)**.
- Izračun vzbujenih stanj : **časovno odvisna DFT (TDDFT),  $\Delta$ SCF metoda in metoda maksimalnega prekrivanja (MOM)**.

Aktivacija  $N_2$  na:

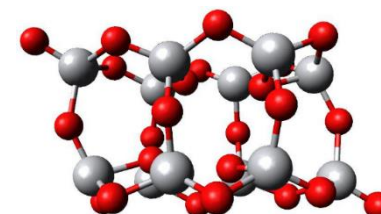
- $(TiO_2)_n$  ( $n=1-12$ ) skupkih.
- Ru- $(TiO_2)_n$  ( $n=1-12$ ) skupkih.



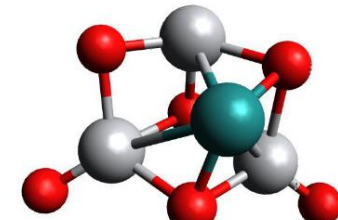
Optimizirana struktura  $(TiO_2)_3$



Optimizirana struktura  $(TiO_2)_6$



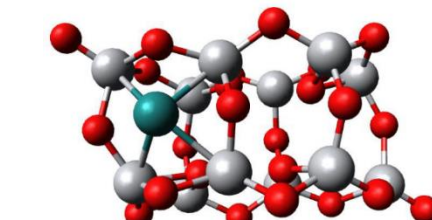
Optimizirana struktura  $(TiO_2)_{12}$



Optimizirana struktura Ru- $(TiO_2)_3$

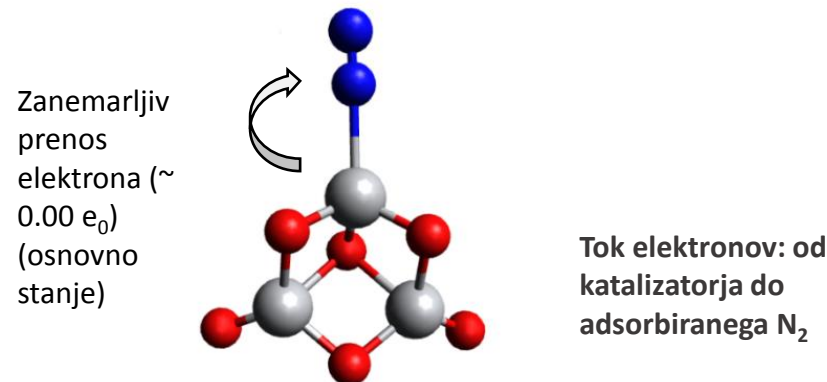
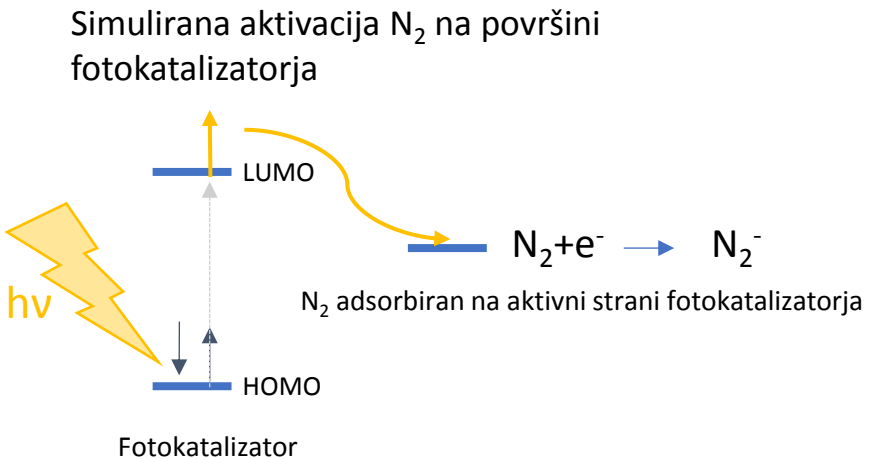


Optimizirana struktura Ru- $(TiO_2)_6$

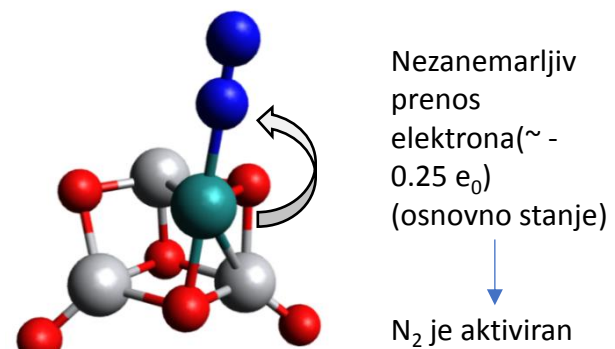


Optimizirana struktura Ru- $(TiO_2)_{12}$

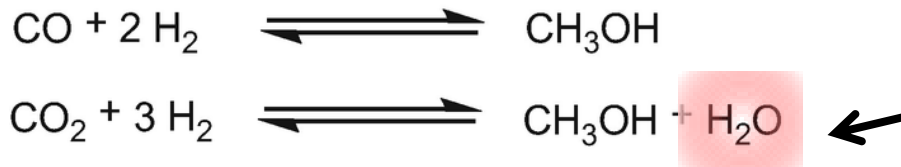
# FOTOKATALITSKA SINTEZA AMONIJAKA– Modeliranje osnovnih principov



Excitation energies	Izoliran $N_2$	Izoliran $(TiO_2)_3$
Vzbujeno stanje singleta (ne opt) [eV]	7.01	3.93
Vzbujeno stanje singleta (opt) [eV]	7.53	3.94
Vzbujeno stanje tripleta (ne opt) [eV]	7.05	2.58
Vzbujeno stanje tripleta (opt) [eV]	6.53	2.20



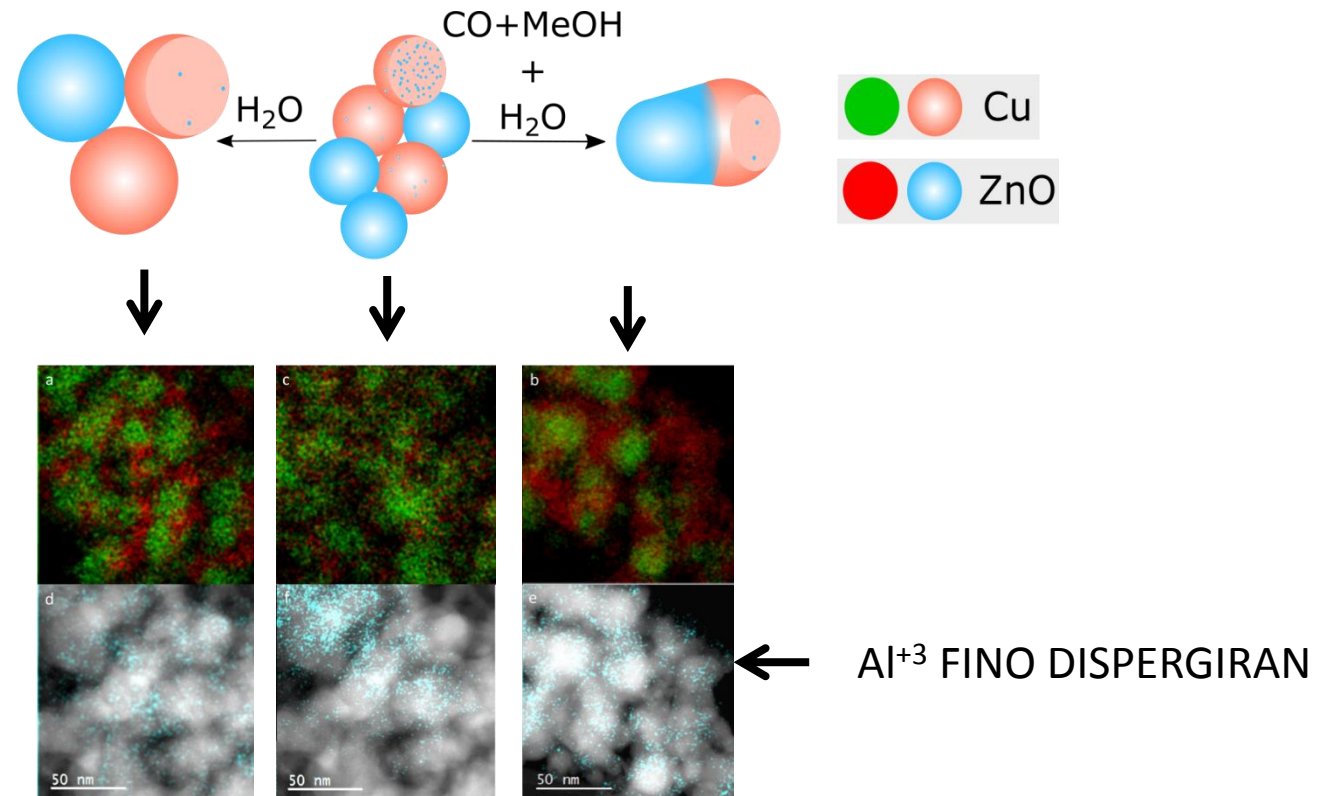
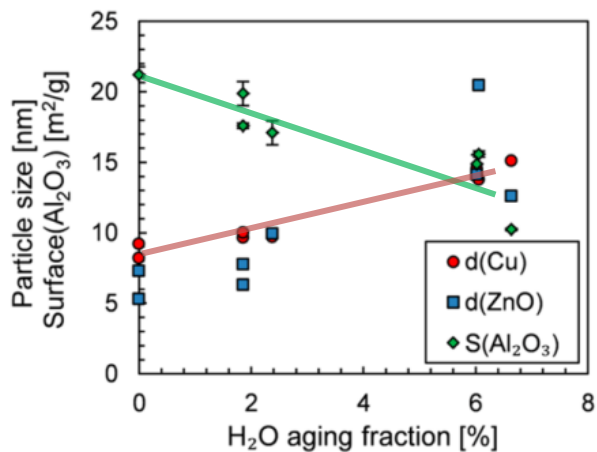
# $\text{CO}_2$ CCU: Učinek $\text{H}_2\text{O}$ na Cu/ZnO/Al<sub>2</sub>O<sub>3</sub>



Je kakšen učinek na katalizatorju?

Voda povzroči:

- Zmanjšanje površine Al<sub>2</sub>O<sub>3</sub>,
- Povečanje velikosti delcev Cu**
- Pogojno povečanje velikosti delcev ZnO

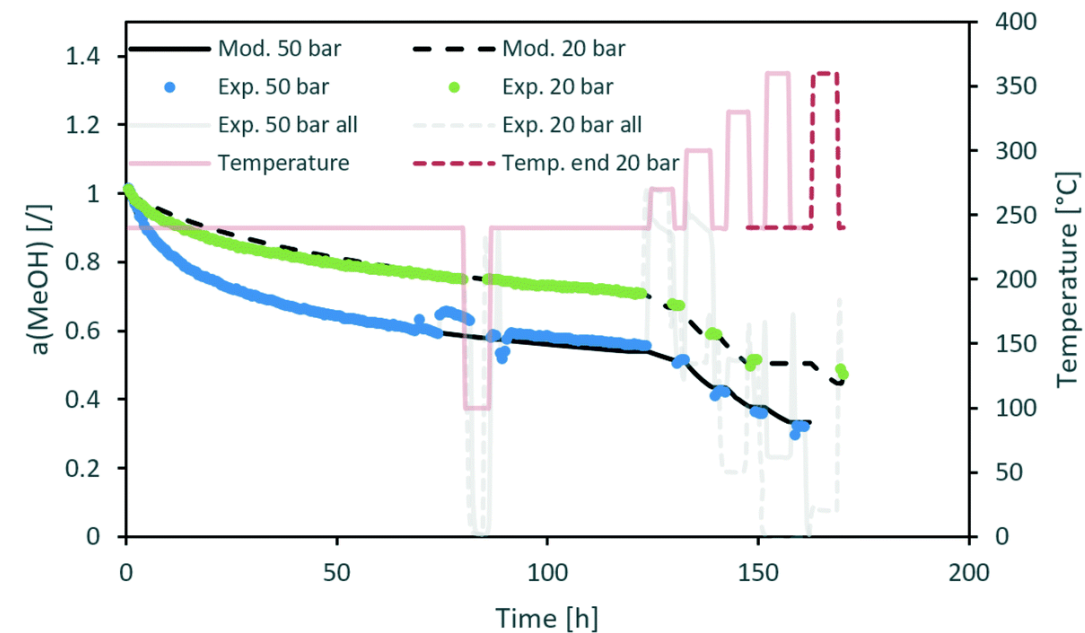
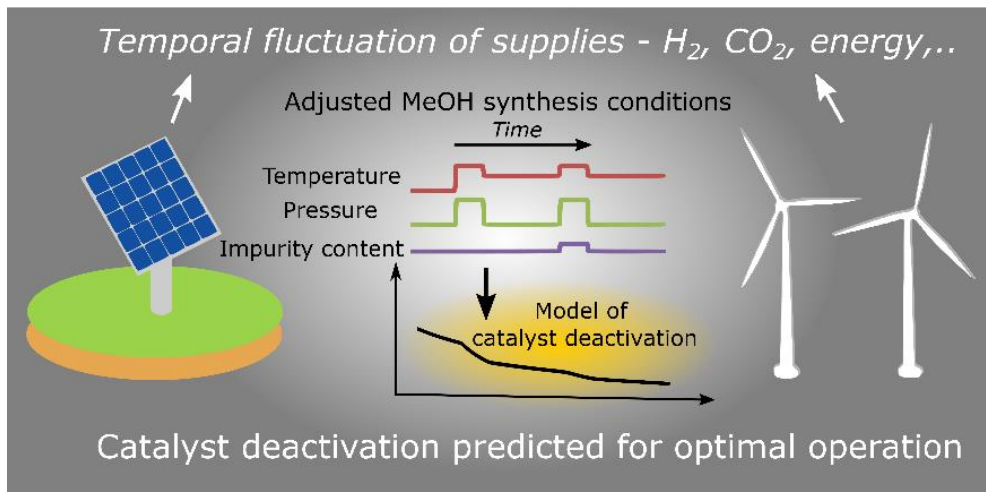


# $\text{CO}_2$ CCU: Deaktivacijski model na podlagi osnovnega mehanizma

- Reakcijska **temperatura** in **tlak** sta vključena v model **deaktivacije katalizatorja** preko parcialnega tlaka  $\text{H}_2\text{O}$ .

$a$ ... aktivnost katalizatorja:

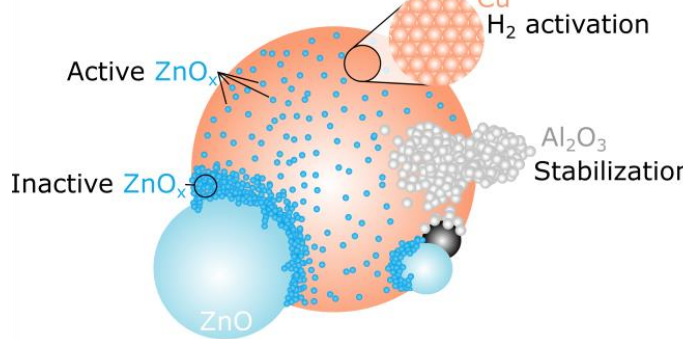
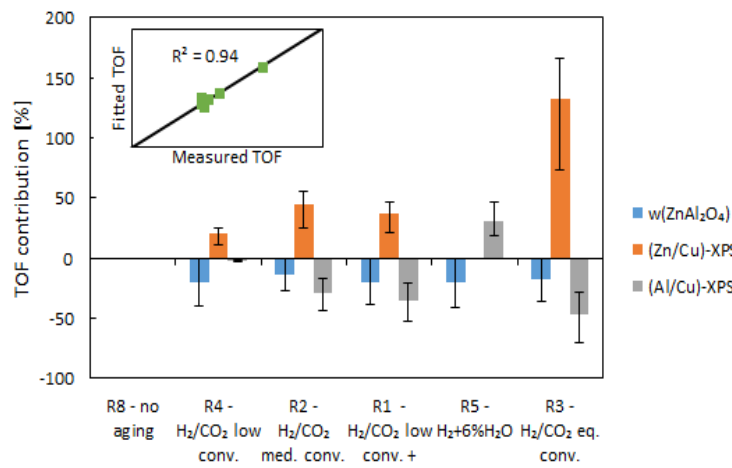
$$\frac{da}{dt} = -a^{n_M} k_{\text{H}_2\text{O}} (f p_{\text{H}_2\text{O}}^0 a)^g$$



Prašnikar, Likozar, *React. Chem. Eng.* 2022

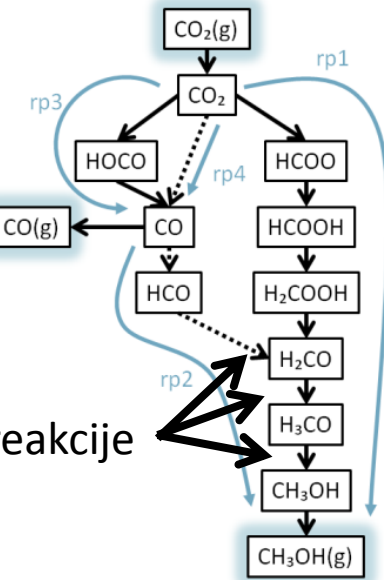
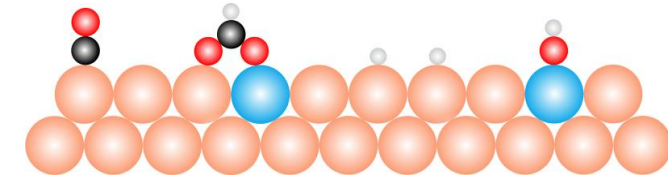
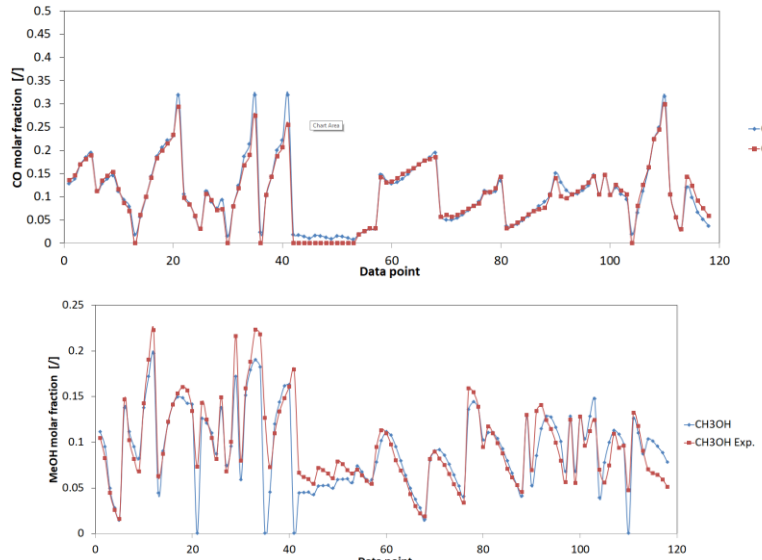
# $\text{CO}_2$ CCU: Mikrokinetični model konverzije $\text{CO}_2$

- Najpomembnejši faktor je prekritje Cu (oranžen) s Zn :

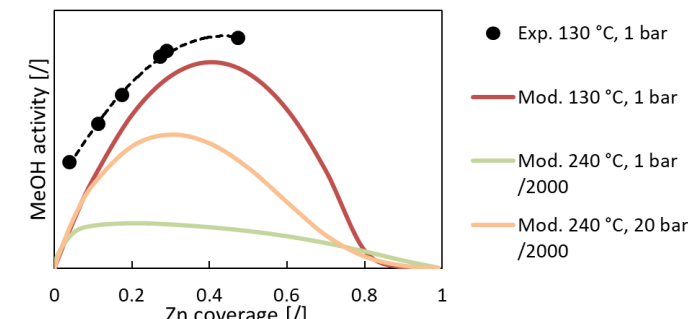


- Razvit in optimiziran večmesten mikrokinetični model
  - Vključitev Zn in Cu aktivnih mest

- Model potrjen na neodvisnih podatkih:



Elementarne reakcije



# $\text{CO}_2$ CCU: Okrepitev z uporabo membranskega reaktorja

- Test 3 različnih membran na  $\alpha$ -aluminijev oksidnih cevkah (NIC-TNO sodelovanje):
  - APTES-PA membrana
  - SPEEK-PI membrana
  - BTESE membrana

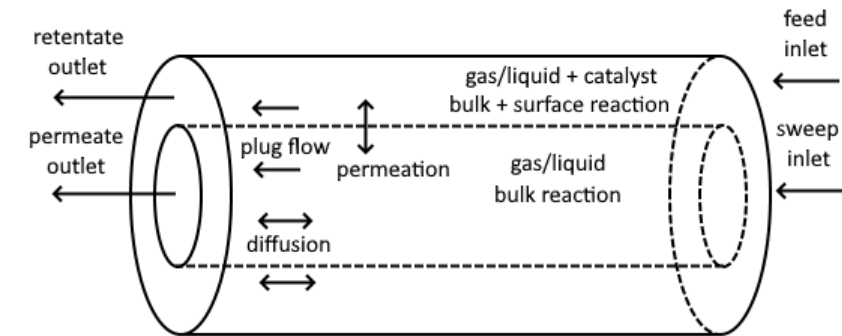


- Programska oprema [razvita](#) za [hitro](#) mikrokinetično reševanje: CERRES (0D, 1D 2D problemi)

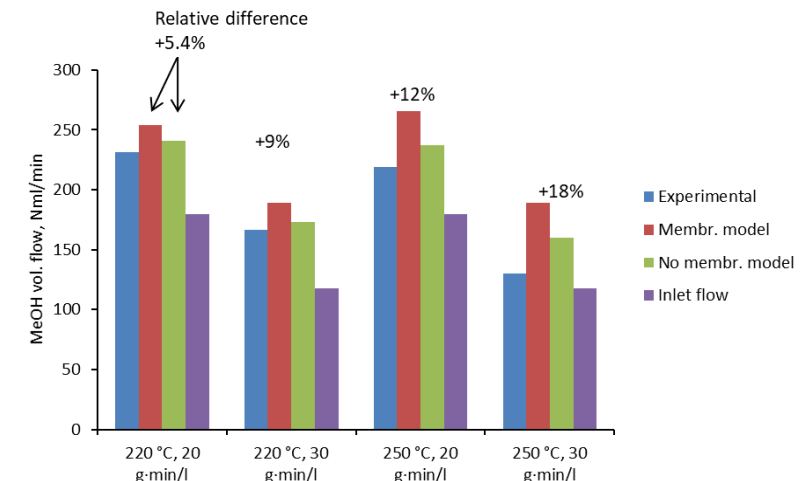
**CERRES**



- Model razvit glede na mikrokinetiko:



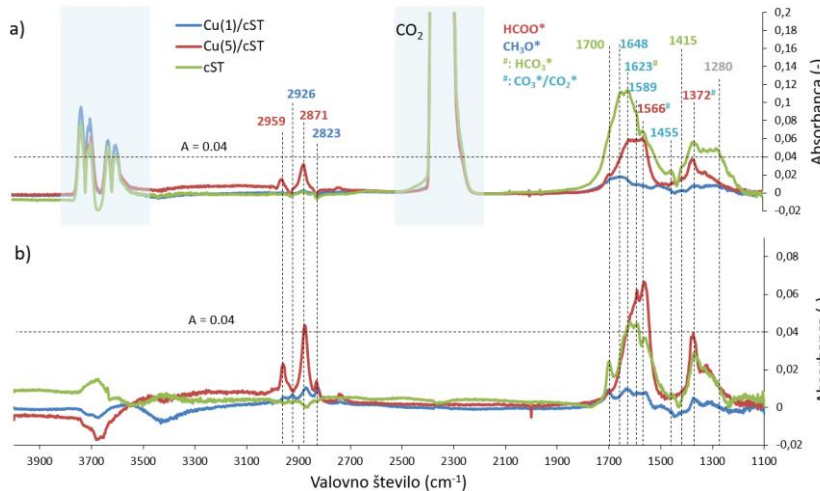
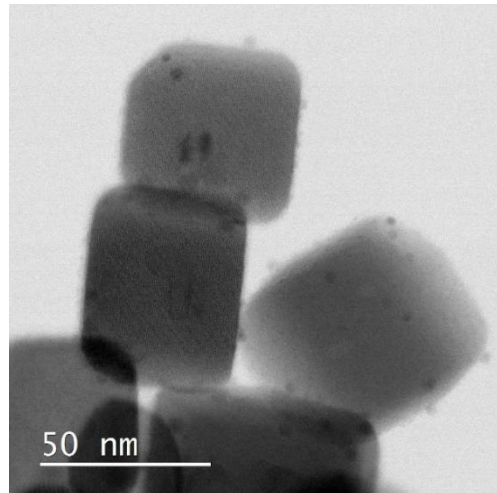
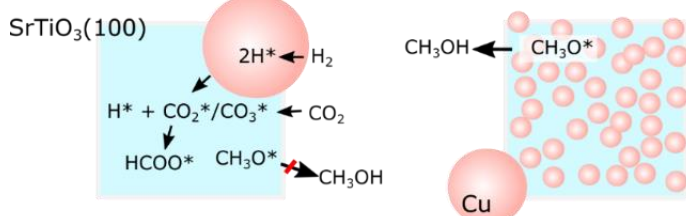
Opazimo  $>6$  višje permeance  $\text{H}_2\text{O}$  kot  $\text{H}_2$  v primeru APTES-PA



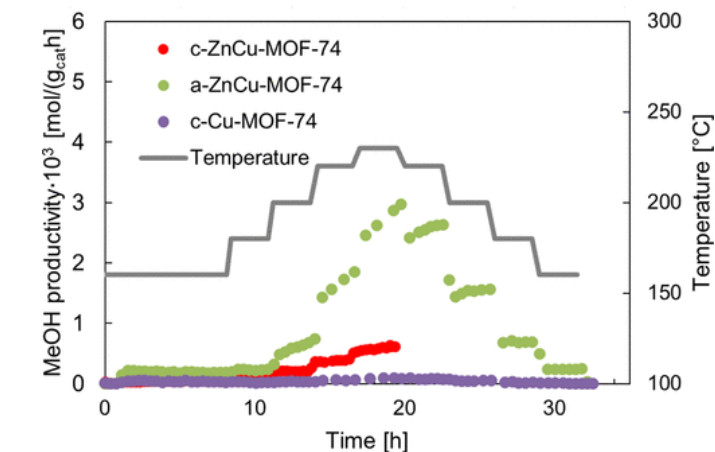
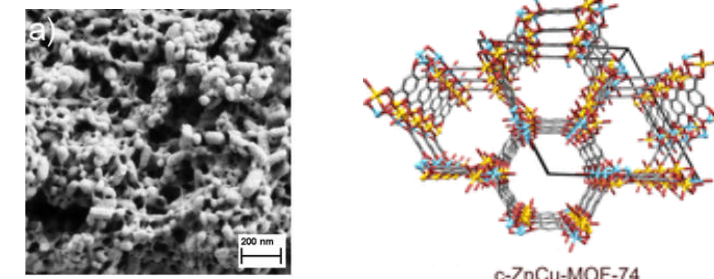
# $\text{CO}_2$ CCU: Eksperimenti na modelnem katalizatorju $\text{Cu}/\text{SrTiO}_3(100)$ in bimetalu Cu-Zn MOF-74

- Cu nanešen na  $\text{SrTiO}_3$  nanocevke nanokocke z izpostavljenim (100) ploskvijo.
- Glavni intermediati so  $\text{HCOO}^*$  in  $\text{CH}_3\text{O}^*$  kot identificirano z DFT analizo
- Prisotnost Cu v  $\text{SrTiO}_3$  znatno zmanjša zmožnost adsorbcije  $\text{CO}_2$  significantly (faktor 50) v prisotnosti mešanice  $\text{H}_2/\text{CO}_2$ .
- Prelivanje vodika čez  $\text{SrTiO}_3$  povzroči nastajanje  $\text{HCOO}^*$ , vendar ne  $\text{CH}_3\text{O}^*$ - (samo na Cu)

$\text{Cu}(5)/\text{cST}$        $\text{Cu}(1)/\text{cST}$



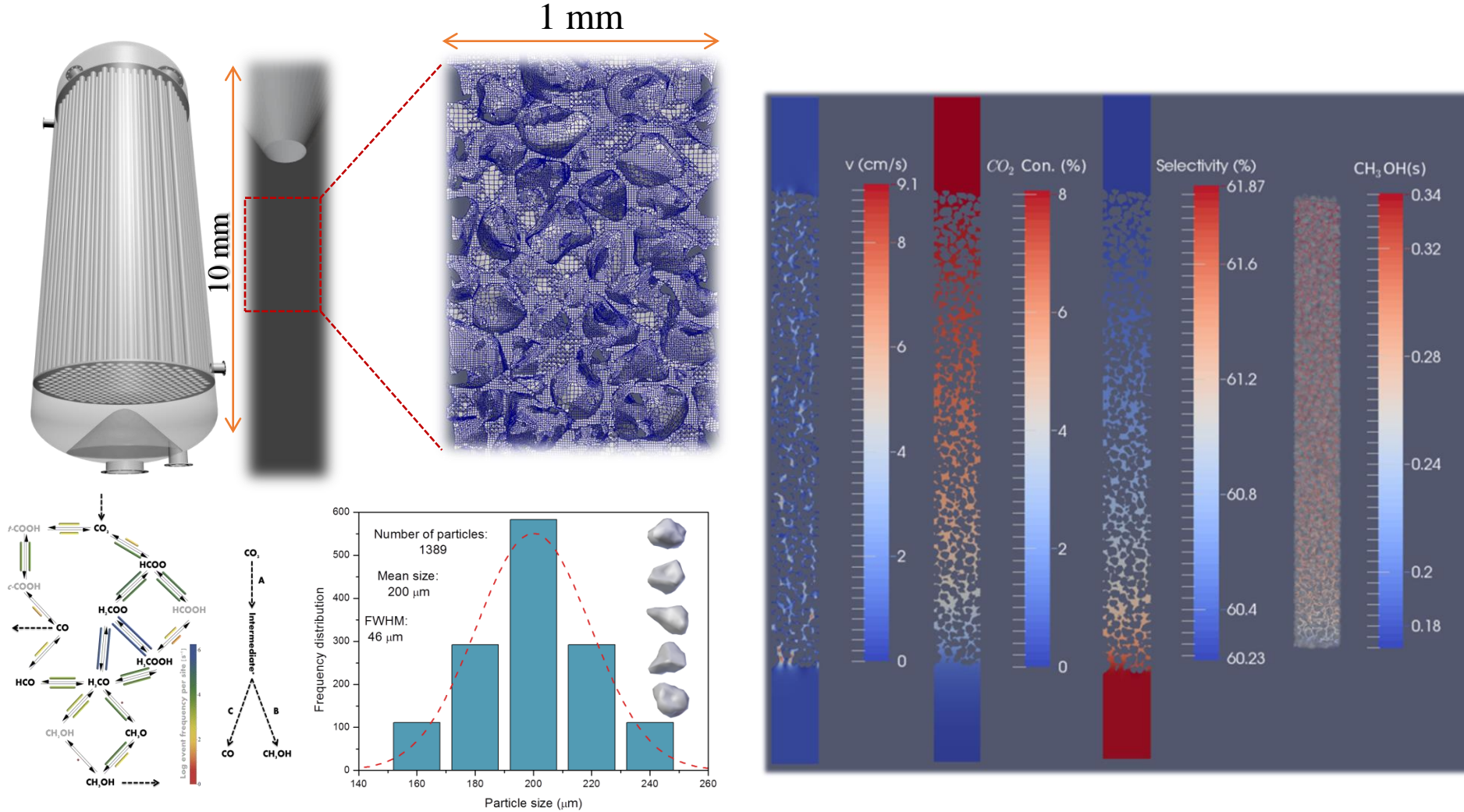
- Karakteriziran in ocenjen CuZn MOF-74 pripravljen z razširljivo mehanokemijsko sintezo.
- Amorfizacija poveča sintezno aktivnost MeOH.



Stolar, Prašnikar, et al. ACS Appl. Mater. Interfaces 2021

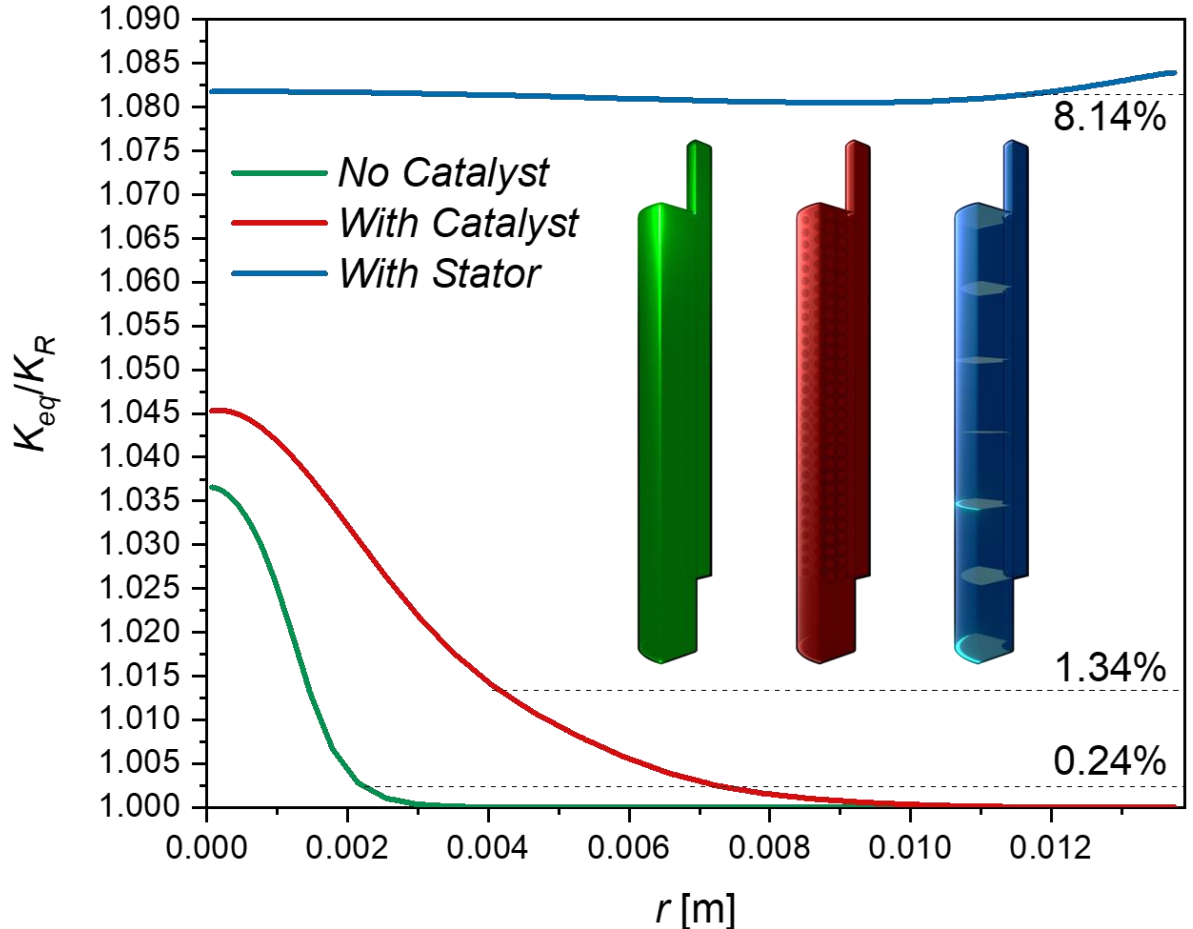
# Večstopenjsko modeliranje: hidrogeniranje CO<sub>2</sub>

Potek dela CFD simulacij



# Večstopenjsko modeliranje: hidrogeniranje CO<sub>2</sub>

## Optimizacija membranskega reaktorja



Premik kemijskega ravnotežja v membranskem reaktorju:

Prepoznavanje problema:

- Zaradi visokih koncentracijskih gradientov večina membranskih reaktorjev ne pripomore k premiku kemijskega ravnotežja

Katalitski membranski reaktor:

- Katalitski delci izboljšajo radialen masni prenos, vendar ima premik ravnotežja še vedno največji vpliv blizu membrane

Membranski reaktor s staticnim mešalom:

- Statično mešalo premika kemijsko ravnotežje skozi celoten reaktor